Séance d'exercice n°5 Lausanne

Contraintes

Exercice 1: Petites rotations

Une barre rigide homogène de longueur L est initialement alignée le long de l'axe x du repère cartésien (O, x, y). La barre est ensuite tournée d'un angle fini θ autour de l'origine O, sans subir de déformation (la longueur de la barre reste constante). La nouvelle position de la barre est donc orientée à un angle θ par rapport à l'axe x.

- 1. Exprimez le champ de déplacement $\mathbf{u}(X)$ des points de la barre en fonction des positions matérielles initiales $\mathbf{X} = (X, Y)$ et de l'angle de rotation θ .
- 2. Calculez le gradient de déplacement $\nabla \mathbf{u}$, tenseur des petites déformations, le tenseur petite rotations. Montrez que, malgré l'absence de déformation réelle, le tenseur des petites déformations prédit des déformations non nulles pour cette rotation finie.
- 3. Analyser si, pour des valeurs infinitésimales de l'angle de rotation θ , la déformation est négligeable par rapport à la rotation.
- 4. Calculez le tenseur de Green-Lagrange E. Est-ce que il y a des déformations?

Solution:

1. la rotation rigide de la barre est donnée par :

$$x = X \cos \theta - Y \sin \theta, \ y = X \sin \theta + Y \cos \theta,$$

alors le déplacement s'écrit :

$$u = x - X = X(\cos \theta - 1) - Y\sin \theta \tag{1}$$

$$v = y - Y = X\sin\theta + Y(\cos\theta - 1) \tag{2}$$

2.

$$\nabla \mathbf{u} = \begin{pmatrix} \cos \theta - 1 & -\sin \theta \\ \sin \theta & \cos \theta - 1 \end{pmatrix} \tag{3}$$

$$\epsilon = \frac{1}{2} (\nabla \mathbf{u} + \nabla \mathbf{u}^T) = \begin{pmatrix} \cos \theta - 1 & 0 \\ 0 & \cos \theta - 1 \end{pmatrix}$$
 (4)

$$\boldsymbol{\omega} = \frac{1}{2} (\nabla \mathbf{u} - \nabla \mathbf{u}^T) = \begin{pmatrix} 0 & -\sin\theta\\ \sin\theta & 0 \end{pmatrix}$$
 (5)

- 3. Pour des petites angles $\cos\theta \approx 1 \theta^2/2$ et $\sin\theta \approx \theta$, donc la déformation est plus petite que la rotation.
- 4. Le gradient de la transformation est

$$\mathbf{F} = \frac{\partial \mathbf{x}}{\partial \mathbf{X}} = \begin{pmatrix} \cos \theta & -\sin \theta \\ \sin \theta & \cos \theta \end{pmatrix} \tag{6}$$

ce qui signifie que \mathbf{F} est une rotation et donc $\mathbf{F}^T\mathbf{F} = \mathbf{I}$. Donc $\mathbf{E} = (\mathbf{F}^T\mathbf{F} - \mathbf{I})/2 = \mathbf{0}$. Cet exemple montre que la déformation infinitésimale de Cauchy ne doit pas être utilisée en présence de rotations finies du milieu continu.

Exercice 2 : Compatibilité

- 1. Le déplacement $u_1 = \sin(x_1)$, $u_2 = x_1^2 x_2$, $u_3 = \cos(x_3)$ correspond-t-il à un champ de déformations compatibles?
- 2. Soit la déformation $\varepsilon_{11} = \frac{1}{\alpha} f(x_2, x_3)$, $\varepsilon_{22} = \varepsilon_{33} = -\frac{\nu}{\alpha} f(x_2, x_3)$ et $\varepsilon_{12} = \varepsilon_{13} = \varepsilon_{23} = 0$. Montrer que pour que cette déformation soit compatible, $f(x_2, x_3)$ doit être linéaire.

Solution:

- 1. Le déplacement est continu et dérivable, on peut donc le dériver pour obtenir le champ de déformation compatible.
- 2.

$$\frac{\partial^2 \varepsilon_{11}}{\partial x_2^2} + \frac{\partial^2 \varepsilon_{22}}{\partial x_1^2} - 2 \frac{\partial^2 \varepsilon_{12}}{\partial x_1 \partial x_2} = \frac{\partial^2 f(x_2, x_3)}{\alpha \partial x_2^2} = 0$$

$$\Rightarrow f(x_2, x_3) = a(x_3)x_2 + b(x_3)$$
(7)

De même,

$$\frac{\partial^2 \varepsilon_{11}}{\partial x_3^2} + \frac{\partial^2 \varepsilon_{33}}{\partial x_1^2} - 2 \frac{\partial^2 \varepsilon_{13}}{\partial x_1 \partial x_3} = 0 \quad \Rightarrow f(x_2, x_3) = c(x_2)x_3 + d(x_2). \tag{8}$$

et,

$$\frac{\partial^2 \varepsilon_{11}}{\partial x_2 \partial x_3} + \frac{\partial}{\partial x_1} \left(\frac{\partial \varepsilon_{23}}{\partial x_1} - \frac{\partial \varepsilon_{12}}{\partial x_3} - \frac{\partial \varepsilon_{31}}{\partial x_2} \right) = 0$$

$$\Rightarrow f(x_2, x_3) = e(x_2) + g(x_3)$$

$$\Rightarrow a(x_3) = a \quad \text{et} \quad c(x_2) = c$$
(9)

On a donc $a x_2 = d(x_2) = e(x_2)$ et $b(x_3) = c x_3 = g(x_3)$, $f(x_2, x_3)$ doit donc être linéaire pour vérifier les conditions de compatibilités.

Exercice 3:

Nous considérons un solide constitué d'un matériau élastique isotrope, dont la configuration de référence est sa forme d'équilibre à la température T_0 . On lui impose une température $T(\underline{x})$ où \underline{x} est la position. On se place dans le cadre des transformations infinitésimales. Les déformations sont de la forme :

$$\boldsymbol{\varepsilon} = \alpha \left(T \left(\underline{x} \right) - T_0 \right) \begin{bmatrix} 1 & 0 & 0 \\ 0 & 1 & 0 \\ 0 & 0 & 1 \end{bmatrix}$$
 (10)

- 1. A quelle condition sur le champ de température $T(\underline{x})$, le champ de déformation associé ε est-il géométriquement compatible?
- 2. Le solide est désormais un cylindre de hauteur H et rayon R, avec R < H (cf. figure 1).

On soumet le cylindre à un champ de température linéaire en x_3 tel que

-
$$T(x_3 = H) = T_0 + \Delta T$$

- $T(x_3 = 0) = T_0$

Le cylindre est libre (il n'est soumis à aucune condition au bord en déplacement) et on élimine les mouvements de translation et de rotation du corps rigide. Calculer le champ de déplacement associé. Indication: Les constantes d'intégration apparaissant dans les expressions de u_1 et u_2 ne dépendent pas de x_1 , x_2 ou x_3 . En revanche, la constante d'intégration de u_3 doit être calculée.

3. A quelle condition sur la température l'hypothèse des déformations infinitésimales est-elle justifiée?

Solution:

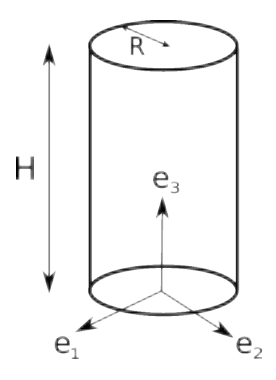


FIGURE 1 - Cylindre

1. Pour que ce champ de déformation soit compatible, il doit vérifier les conditions de compatibilité cinématique de Saint Venant (Lai/Rubin/Krempl p. 102) :

$$\begin{cases} \frac{\partial^2 T(\underline{x})}{\partial x_i^2} + \frac{\partial^2 T(\underline{x})}{\partial x_j^2} = 0 & \forall \ i \neq j \\ \frac{\partial^2 T(\underline{x})}{\partial x_i \partial x_j} = 0 & \forall \ i \neq j \end{cases}$$

$$\Rightarrow \frac{\partial^2 T(\underline{x})}{\partial x_i^2} = 0$$

En trois dimensions, ces relations impliquent que $T(\underline{x})$ soit linéaire : $T(\underline{x}) = ax_1 + bx_2 + cx_3$.

2. $\varepsilon = \alpha \, \Delta T \frac{x_3}{H} \boldsymbol{I}$. En intégrant ε_{11} , ε_{22} et ε_{33} , on a :

$$u_1 = \alpha \Delta T \frac{x_1 x_3}{H} + f_1(x_2, x_3)$$
$$u_2 = \alpha \Delta T \frac{x_2 x_3}{H} + f_2(x_1, x_3)$$
$$u_3 = \alpha \Delta T \frac{x_3^2}{2H} + f_3(x_1, x_2)$$

D'après l'indication de l'énoncé, on sait que f_1 et f_2 sont des constantes qui ne dépendent pas de x_1 , x_2 ou x_3 . Pour éliminer le mouvement du corps rigide, on a donc $f_1 = 0$ et $f_2 = 0$. Pour trouver f_3 on utilise $\varepsilon_{13} = \varepsilon_{23} = 0$:

$$\varepsilon_{13} = \frac{1}{2} \left(\frac{\partial u_1}{\partial x_3} + \frac{\partial u_3}{\partial x_1} \right) = \frac{1}{2} \left(\alpha \Delta T \frac{x_1}{H} + \frac{\partial f_3(x_1, x_2)}{\partial x_1} \right) = 0$$

$$\Rightarrow \frac{\partial f_3(x_1, x_2)}{\partial x_1} = -\alpha \Delta T \frac{x_1}{H}$$

$$\Rightarrow f_3(x_1, x_2) = -\alpha \Delta T \frac{x_1^2}{2H} + a(x_2).$$

De même pour $\varepsilon_{23} = 0$ on trouve :

$$f_3(x_1, x_2) = -\alpha \Delta T \frac{x_2^2}{2H} + b(x_1).$$

Par identification, on a:

$$a(x_2) = -\alpha \Delta T \frac{x_2^2}{2H}$$
$$b(x_1) = -\alpha \Delta T \frac{x_1^2}{2H}$$

On obtient alors

$$u_1 = \alpha \Delta T \frac{x_1 x_3}{H}$$

$$u_2 = \alpha \Delta T \frac{x_2 x_3}{H}$$

$$u_3 = \alpha \Delta T \frac{x_3^2 - x_1^2 - x_2^2}{2H}$$

ou en coordonnées cylindriques $u_r = \alpha \Delta T \frac{rz}{H}$, $u_\theta = 0$ et $u_z = \alpha \Delta T \frac{z^2 - r^2}{2H}$, à un mouvement de solide rigide près.

3. Pour que l'hypothèse des déformations infinitésimales soit justifiées, il faut que $\|\nabla u\| \ll 1$. Le gradient des déplacements en coordonnées cartésiennes est :

$$\nabla \boldsymbol{u} = \frac{\alpha \Delta T}{H} \begin{bmatrix} x_3 & 0 & x_1 \\ 0 & x_3 & x_2 \\ -x_1 & -x_2 & x_3 \end{bmatrix}.$$
 (11)

Il faut donc que chaque composante du tenseur soit inférieur à 1. Comme le cylindre est plus haut que large (H > R), les termes maximums sont les termes diagonaux quand $x_3 = H$. Il faut donc :

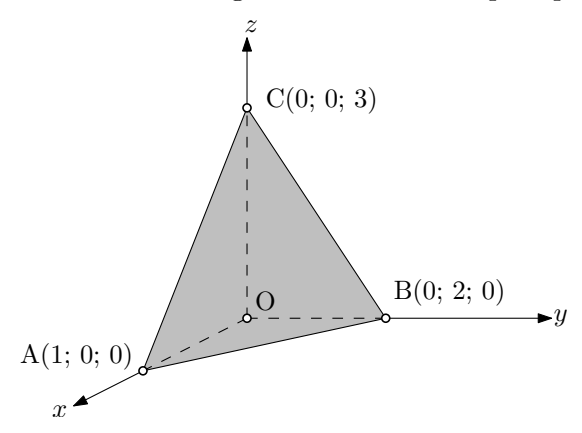
$$\frac{\alpha \, \Delta T x_3}{H} \ll 1 \quad \Rightarrow \quad \alpha \, \Delta T \ll 1. \tag{12}$$

Exercice 4: Composantes du vecteur contrainte

La matrice représentant le tenseur contrainte au point O d'un solide vaut

$$[\sigma_{ij}] = \begin{bmatrix} 2 & -2 & 0 \\ -2 & 3 & 1 \\ 0 & 1 & 2 \end{bmatrix} [N/mm^2]$$

Trouver les composantes du vecteur contrainte agissant en O sur un plan parallèle au plan ABC :



Solution:

Le vecteur contrainte est donné par $\underline{f} = \underline{\sigma}\underline{n}$, et d'une manière générale le vecteur unitaire normal au plan ABC \underline{n} peut être posé comme

$$\underline{n} = \frac{\overline{AB} \times \overline{AC}}{||\overline{AB} \times \overline{AC}||}.$$

Ici l'équation du plan est obtenue directement : $x + \frac{y}{2} + \frac{z}{3} = 1$, le vecteur \underline{n} est donc colinéaire à $\left[1, \frac{1}{2}, \frac{1}{3}\right]$ (penser à le normer).

Finalement, on obtient

$$\underline{f} = \left[\frac{6}{7}, -\frac{1}{7}, 1 \right].$$

Exercice 5 : Conservation de la masse

Étant donné le champ de vitesse suivant en coordonnées cylindriques :

$$\mathbf{v}(r, \theta, z) = f(r, \theta)\mathbf{e_r},$$

à partir du principe de conservation de la masse pour un matériau incompressible, déterminer la forme la plus générale de la fonction $f(r, \theta, z)$ qui satisfait cette équation.

Solution: Pour un matériau incompressible, la vitesse doit satisfaire l'équation de divergence nulle :

$$\nabla \cdot \mathbf{v} = 0 \implies \frac{1}{r} \frac{\partial}{\partial r} (r v_r) = 0 \implies r v_r = constante \implies f(r, \theta) = \frac{1}{r} g(\theta).$$
 (13)

Le champ de vitesse radiale v_r doit varier selon 1/r pour satisfaire la condition de divergence nulle en coordonnées cylindriques pour un écoulement incompressible.

Exercice 6:

Les composantes cartésiennes du tenseur contraintes σ_{ij} au point 0 d'un solide sont

$$\begin{bmatrix} -4 & \sqrt{2} & -\sqrt{2} \\ \sqrt{2} & -1 & 3 \\ -\sqrt{2} & 3 & -1 \end{bmatrix} [N/mm^2]$$

Trouver

- 1. les contraintes normales principales,
- 2. la matrice des cosinus directeurs des axes principaux,
- 3. la contrainte normale moyenne,
- 4. le tenseur déviateur,
- 5. la contrainte tangentielle maximale

Solution:

1) Les contraintes normales principales sont les valeurs propres de la matrice de contraintes.

$$\det[\sigma_{ij} - \lambda \delta_{ij}] = \det(\underline{\sigma} - \lambda \underline{I}) = 0$$

pour notre tenseur de contraintes on a

$$\begin{vmatrix} \sigma_{11} - \lambda & \sigma_{12} & \sigma_{13} \\ \sigma_{21} & \sigma_{22} - \lambda & \sigma_{23} \\ \sigma_{31} & \sigma_{32} & \sigma_{33} - \lambda \end{vmatrix} = \begin{vmatrix} -4 - \lambda & \sqrt{2} & -\sqrt{2} \\ \sqrt{2} & -1 - \lambda & 3 \\ -\sqrt{2} & 3 & -1 - \lambda \end{vmatrix} = 0$$

on obtient le polynôme :

$$-\lambda^3 - 6\lambda^2 + 4\lambda + 24 = (-\lambda^2 + 4)(\lambda + 6) = (\lambda + 2)(-\lambda + 2)(\lambda + 6) = 0$$

par conséquent les contraintes normales principales sont

$$\sigma_{\rm I} = 2 \ {\rm N/m^2}, \ \sigma_{\rm II} = -2 \ {\rm N/m^2}, \ \sigma_{\rm III} = -6 \ {\rm N/m^2}, \qquad \sigma_{\rm I} > \sigma_{\rm II} > \sigma_{\rm III}$$

2) Pour trouver la matrice des cosinus directeurs des axes principaux, on calcule les vecteurs propres du tenseur des contraintes :

$$(\sigma_{ij} - \delta_{ij}\lambda)n_i = 0$$
 avec $n_i n_i = n_1^2 + n_2^2 + n_3^2 = 1$

où λ est une valeur propre et n_i le vecteur des cosinus directeurs correspondant. Pour $\lambda = \sigma_I = 2$ on obtient

$$\begin{array}{rclcrcl}
-6n_1 + \sqrt{2}n_2 - \sqrt{2}n_3 & = & 0 & & n_1 & = & \frac{1}{6} \left(\sqrt{2}n_2 - \sqrt{2}n_3\right) \\
\sqrt{2}n_1 - 3n_2 + 3n_3 & = & 0 & \Rightarrow & n_2 & = & n_3 \\
-\sqrt{2}n_1 + 3n_2 - 3n_3 & = & 0 & & n_1 & = & 0
\end{array}$$

et en utilisant $n_i n_i = 1$ on trouve que :

$$\underline{n}_{\mathrm{I}} = \left(0, \frac{\sqrt{2}}{2}, \frac{\sqrt{2}}{2}\right)$$

pour $\lambda = \sigma_{\rm II} = -2$ on obtient

$$\begin{array}{rclcrcl} -2n_1 + \sqrt{2}n_2 - \sqrt{2}n_3 & = & 0 & & -\sqrt{2}n_1 & = & -n_2 + n_3 \\ \sqrt{2}n_1 + n_2 + 3n_3 & = & 0 & \Rightarrow & n_2 & = & -n_3 \\ -\sqrt{2}n_1 + 3n_2 + n_3 & = & 0 & & n_1 & = & \sqrt{2}n_2 \end{array}$$

et en utilisant $n_i n_i = 1$ on trouve que :

$$\underline{n}_{\mathrm{II}} = \left(-\frac{\sqrt{2}}{2}, -\frac{1}{2}, \frac{1}{2}\right)$$

pour $\lambda = \sigma_{III} = -6$ on obtient

et en utilisant $n_i n_i = 1$ on trouve que :

$$\underline{n}_{\mathrm{III}} = \left(\frac{\sqrt{2}}{2}, -\frac{1}{2}, \frac{1}{2}\right)$$

Finalement, la matrice des cosinus directeurs des axes principaux devient

$$\begin{bmatrix} n_{\rm I} & n_{\rm II} & n_{\rm III} \end{bmatrix} = \frac{1}{2} \begin{bmatrix} 0 & -\sqrt{2} & \sqrt{2} \\ \sqrt{2} & -1 & -1 \\ \sqrt{2} & 1 & 1 \end{bmatrix}$$

3) La contrainte normale moyenne est déterminée par

$$\sigma_o = \frac{1}{3}\sigma_{ii} = \frac{1}{3}(\sigma_{11} + \sigma_{22} + \sigma_{33}) = \frac{1}{3}(\sigma_{I} + \sigma_{II} + \sigma_{II})$$

Dans notre cas, on obtient

$$\sigma_o = \frac{1}{3}(\sigma_{\rm I} + \sigma_{\rm II} + \sigma_{\rm II}) = -2 \text{ N/m}^2$$

4) Le tenseur déviateur des contraintes s_{ij} est déterminé par

$$s_{ij} = \sigma_{ij} - \sigma_o \delta_{ij}$$

où σ_o représente la contrainte normale moyenne déterminée précédemment. Le déviateur devient

$$[s_{ij}] = [\sigma_{ij} - \sigma_o \delta_{ij}] = \begin{bmatrix} -2 & \sqrt{2} & -\sqrt{2} \\ \sqrt{2} & 1 & 3 \\ -\sqrt{2} & 3 & 1 \end{bmatrix}$$
 [N/m²]

5) Après avoir déterminé les contraintes normales principales, on détermine la contrainte tangentielle maximale par

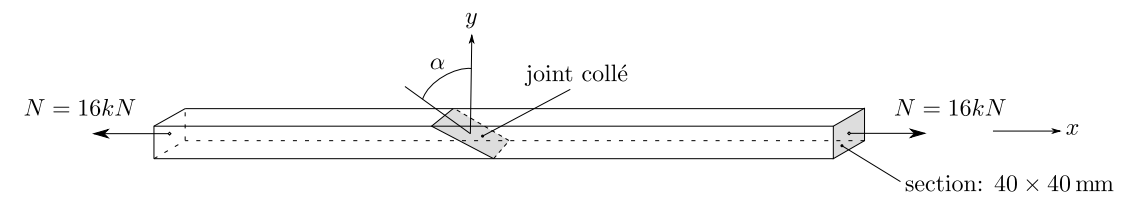
$$\tau_{\rm max} = \pm \frac{\sigma_{\rm I} - \sigma_{\rm III}}{2}$$

On obtient

$$\tau_{\rm max} = \pm 4 \text{ N/m}^2$$

Exercice 7:

Un barreau de section carrée 40 mm \times 40 mm est soumis à une force de traction N=16 kN. Déterminer analytiquement, l'orientation α que l'on doit donner à un joint collé pour que la contrainte de traction n'y excède pas 2 N/mm²; quelle est alors la contrainte tangentielle dans le joint?



Solution:

Tout d'abord, on doit évaluer le tenseur des contraintes dans la base initiale liée à la barre :

$$\sigma_x = \frac{16000 \text{ N}}{40 \text{ mm} \cdot 40 \text{ mm}} = \frac{16000 \text{ N}}{1600 \text{ mm}^2} = 10 \text{ N/mm}^2, \quad \sigma_y = 0, \quad \tau_{xy} = 0$$

On remarque qu'on est déjà dans la base des contraintes principales, on a donc les contraintes principales égales à :

$$\sigma_1 = 10 \text{ N/mm}^2, \quad \sigma_2 = 0$$

Pour trouver l'orientation α que l'on doit donner à un joint collé pour que la contrainte de traction n'excède pas 2 N/mm², on exprime le tenseur des contraintes dans une base d'orientation quelconque d'angle α par :

$$\sigma' = c\sigma c^{\mathrm{T}}$$

ce qui donne :

$$\boldsymbol{\sigma}' = \begin{bmatrix} \cos \alpha & \sin \alpha \\ -\sin \alpha & \cos \alpha \end{bmatrix} \begin{bmatrix} \sigma_1 & 0 \\ 0 & 0 \end{bmatrix} \begin{bmatrix} \cos \alpha & -\sin \alpha \\ \sin \alpha & \cos \alpha \end{bmatrix} = \begin{bmatrix} \sigma_1 \cos^2 \alpha & -\sigma_1 \cos \alpha \sin \alpha \\ -\sigma_1 \cos \alpha \sin \alpha & \sigma_1 \sin^2 \alpha \end{bmatrix}$$

par conséquent,

$$\begin{bmatrix} \sigma' \\ \tau' \end{bmatrix} = \begin{bmatrix} \sigma_1 \cos^2 \alpha \\ -\sigma_1 \cos \alpha \sin \alpha \end{bmatrix}$$

pour $\sigma^{'}=2~\mathrm{N/mm^2}$ on obtient que $\alpha=\pm63.43^{\circ}$ et $\tau^{'}=\pm4.0~\mathrm{N/mm^2}$

(Ou simplement $\sigma' = \underline{n}^t \boldsymbol{\sigma} \underline{n}$ avec $\underline{n} = \begin{bmatrix} \cos \alpha \\ \sin \alpha \end{bmatrix}$ le vecteur normal à la surface, et $\tau' = \underline{t}^t \boldsymbol{\sigma} \underline{n}$ avec $\underline{t} = \begin{bmatrix} -\sin \alpha \\ \cos \alpha \end{bmatrix}$ le vecteur tangent à la surface.)

Exercice 8: Exercice 3, examen 2016

Dans cet exercice, on s'intéresse à une plaque rectangulaire trouée. Le trou est centré sur l'origine du repère et est de rayon a. La plaque est d'épaisseur h. La plaque est soumise à une contrainte uniaxiale statique $\sigma_{xx} = \text{constante} = p$ à ses extrémités.

La solution pour un matériau élastique linéaire isotrope est connue :

$$\sigma_{rr} = \frac{p}{2} \left(1 - \frac{a^2}{r^2} \right) \left[1 + \left(1 - 3\frac{a^2}{r^2} \right) \cos 2\theta \right]$$

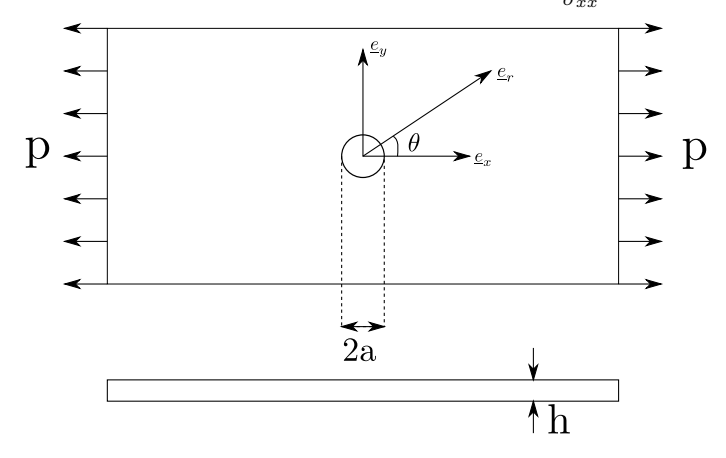
$$\sigma_{\theta\theta} = \frac{p}{2} \left[1 + \frac{a^2}{r^2} - \left(1 + 3\frac{a^4}{r^4} \right) \cos 2\theta \right]$$

$$\tau_{r\theta} = -\frac{p}{2} \left(1 - \frac{a^2}{r^2} \right) \left(1 + 3\frac{a^2}{r^2} \right) \sin 2\theta$$
(14)

- 1. Vérifier que cette solution satisfait les conditions aux limites en contraintes.
- 2. Quel est l'endroit où $\sigma_{\theta\theta}$ est maximale? Donner sa valeur.
- 3. Trouver où dans la plaque $\tau_{r\theta}$ est maximale, et donner sa valeur.

Pour la suite, nous ne considérons que l'état de contrainte au bord du trou (r = a).

- 4. Donner l'emplacement et la valeur de la contrainte maximale de cisaillement $\tau_{\rm max}$. Sur quel plan agit elle ?
- 5. Quelle est la valeur du facteur d'intensité de contrainte $K = \frac{\sigma_{max}}{\sigma_{xx}}$?



Solution:

1. Sur le bord du trou, la structure est libre d'efforts. Ainsi, il faut vérifier que

$$\forall \theta, \, \underline{\underline{\sigma}}(r=a)\underline{e}_r = \underline{0}
\forall \theta, \, \sigma_{rr}(r=a) = 0 \text{ et } \tau_{r\theta}(r=a) = 0$$
(15)

C'est bien le cas puisque lorsque r=a le facteur $\left(1-\frac{a^2}{r^2}\right)$ s'annule.

Il faut également vérifier les conditions aux limites en effort sur le périmètre de la plaque, c'est-à-dire loin du trou. Ainsi, lorsque r tend vers l'infini et que $\theta = 0$ ou $\theta = \pi$, on a bien $\sigma_{rr} = p$.

- 2. On sait que $\cos 2\theta$ vaut -1 en $\theta = \frac{\pi}{2}$. Par conséquent, $\sigma_{\theta\theta}$ est maximum en r = a et $\theta = \pm \frac{\pi}{2}$ et vaut 3p.
- 3. Cherchons l'endroit dans la plaque où $\tau_{r\theta}$ est maximum. $\sin 2\theta$ est maximum en $\theta = \frac{\pi}{4} + k\pi$ et le produit $\left(1 \frac{a^2}{r^2}\right) \left(1 + 3\frac{a^2}{r^2}\right)$ est maximum en $\frac{a^2}{r^2} = \frac{1}{3}$, c'est-à-dire en $r = a\sqrt{3}$. A ce moment, $\tau_{r\theta}(a\sqrt{3}, -\frac{\pi}{4} + k\pi) = \frac{2p}{3}$
- 4. A présent, on se place au bord du trou. Les champs de contraintes deviennent :

$$\sigma_{rr} = 0$$

$$\sigma_{\theta\theta} = p (1 - 2\cos 2\theta)$$

$$\tau_{r\theta} = 0$$
(16)

Le cisaillement maximal est $\tau_{max} = \frac{1}{2}(\sigma_I - \sigma_{II})$

$$\tau_{max} = \frac{1}{2}(\sigma_I - \sigma_{II})$$

$$\tau_{max} = \frac{3p}{2}$$
(17)

Elle agit sur le plan de normale $-\sin\left(\frac{\pi}{4}\right)\underline{e}_x + \cos\left(\frac{\pi}{4}\right)\underline{e}_y$ 5. La contrainte maximale σ_{max} est la contrainte calculée à la question 2. Ainsi

$$K = \frac{\sigma_{max}}{\sigma_{xx}} = \frac{\sigma_{\theta\theta}(a, \frac{\pi}{2})}{p} = 3 \tag{18}$$